

Применение метода обратного рассеяния протонов для анализа радиационных дефектов в ионных кристаллах

МАМАЕВ Л. К., ПОПОВ В. С., ШИПАТОВ Э. Т.

Ядерно-физические методы, основанные на использовании эффекта канализации заряженных частиц, применяются для изучения местоположения атомов примеси и радиационных дефектов в решетке полупроводников, легированных методом ионной бомбардировки [1]. В работах [2—7] по методике обратного рассеяния и канализации изучались радиационные дефекты в ионных кристаллах. Нарушения структуры кристалла при его облучении можно определить сравнением выходов обратного рассеяния частиц анализирующего пучка, направленного вдоль кристаллографических осей, для необлученного и облученного кристаллов.

В настоящей работе исследуются параметры процесса радиационного разрушения кристаллов NaCl протонами с энергией 1,2 МэВ, направленными под различными углами относительно кристаллографических осей $\langle 100 \rangle$ кристалла. Для анализа дефектов используется методика обратного рассеяния и канализации протонов.

Исследования проводились на пучке протонов электростатического генератора ЭГ-2,5 Института физики Ростовского государственного университета. Энергия анализирующего пучка равнялась 1,2 МэВ, угловая расходимость $0,03^\circ$, диаметр 1 мм, плотность тока $0,015 \text{ мкА}/\text{см}^2$. Плотность тока пучка протонов при облучении кристалла составляла $0,3 \text{ мкА}/\text{см}^2$, диаметр пучка 3 мм, угловая расходимость $0,1^\circ$. Образцы NaCl размером $6 \times 12 \times 2$ мм сначала ориентировались по световому лучу так, чтобы нормаль к плоскости $\langle 100 \rangle$ совпадала с направлением падающего пучка; затем с использованием методики обратного рассеяния и канализации ось $\langle 100 \rangle$ выставлялась по направлению пучка протонов с точностью не хуже $0,03^\circ$. Кристалл поворачивался с помощью гoniометрического устройства с точностью $0,01^\circ$. Измерения выполнялись при температуре кристалла $T = 300$ К. Доза облучения определялась с точностью не хуже $\pm 5\%$ по показаниям мониторного счетчика и интегратора тока, соединенного с кристаллом. Рассеянные на угол $\theta = 135^\circ$ протоны анализирующего пучка регистрировались поверхностью-барьерными кремниевыми счетчиками с энергетическим разрешением 10 кэВ

(для протонов $E = 500$ кэВ). Для записи энергетических спектров использовались многоканальные амплитудные анализаторы импульсов АИ-256-1 и АИ-128-2. За время измерения одного спектра доза облучения составила $8,3 \cdot 10^{13}$ протон/ см^2 и учитывалась с поправочным коэффициентом 0,3 при подсчете общей дозы облучения кристалла. Мощность дозы облучения в течение эксперимента поддерживалась постоянной и равнялась $1,8 \cdot 10^{13}$ протон/ $(\text{см}^2 \cdot \text{с})$.

На рис. 1, а, б показаны энергетические спектры протонов, рассеянных от кристаллов NaCl, не подвергнутых (4) и подвергнутых (2 и 3) облучению. Кривая 1 представляет спектр неориентированного кристалла. Со стороны высоких энергий на спектре 1, а видны ступеньки, соответствующие рассеянию частиц на поверхностных атомах Na и Cl. На дифференциальных спектрах 1, б ступенькам соответствуют глубокие минимумы. Ширина максимумов на половине их высоты определяется энергетическим разрешением спектрометрического тракта. Метод дифференциальной спектроскопии удобен для изучения процесса расканализации и элементного анализа толстых многокомпонентных кристаллов.

Для оценки количества радиационных дефектов используется нормализованный выход рассеянных протонов анализирующего пучка χ_{\min} . На рис. 2 приведена зависимость нормализованного выхода рассеянных протонов с энергией

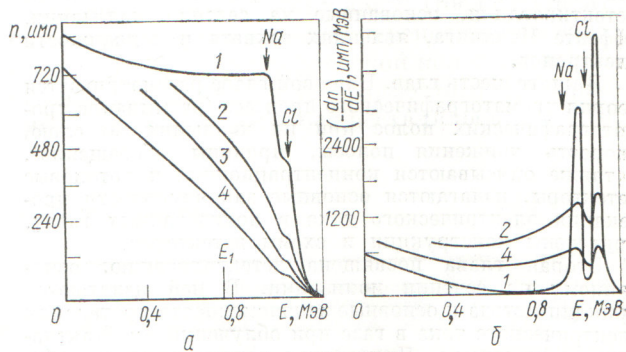


Рис. 1. Энергетические (а) и дифференциальные (б) спектры протонов, рассеянных от кристалла NaCl при различных дозах облучения

после вылета из кристалла $E > E_1 = 780$ кэВ (энергия E_1 показана на рис. 1, а и соответствует толщине рассеивающего слоя приблизительно 3,5 мкм) от угла между направлением анализирующего пучка и осями $\langle 100 \rangle$. Кривые 1 и 2 — результаты измерений для необлученного и облученного дозой $7,7 \cdot 10^{14}$ протон/см² кристаллов; они характеризуются минимальным выходом χ_{\min} , измеряемым при $\psi = 0^\circ$, и полушириной минимума $\psi_{0,5}$. Облучение заметно не изменяет значение $\psi_{0,5}$, но существенно увеличивает χ_{\min} .

На рис. 3 показана зависимость нормализованного минимального выхода от глубины кристалла, измеренная для необлученного (1) и облученного (2, 3) кристаллов. Облучение проводилось вдоль осей $\langle 100 \rangle$ [$D_p = 1,66 \cdot 10^{14}$ протон/см²] (2) и под углом 3° к осиам $\langle 100 \rangle$ [$D_p = 2,45 \cdot 10^{14}$ протон/см²] (3). Для перехода от шкалы энергий к шкале глубин предполагалось, что тормозная способность кристалла для канализированных частиц составляет 0,7 от тормозной способности для неканализированных частиц. Величина χ_{\min} зависит от глубины проникновения частиц в кристалл, температуры кристалла и дозы облучения. При облучении увеличиваются значения χ_{\min} для всех глубин кристалла, включая поверхность, и скорости расканалирования $d\chi/dl$.

Для кристаллографических осей минимальный выход рассеяния с поверхности совершенного кристалла определяется формулой Барбера [8]:

$$\chi_{\min}(0) = (3 \pm 0,2) Nd \langle u_{\perp}^2 \rangle \times \left[1 + \left(\frac{0,64\psi_{0,5}d}{\langle u_{\perp} \rangle} \right)^2 \right]^{1/2}, \quad (1)$$

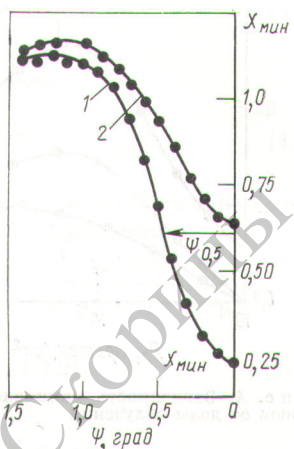
где N — объемная плотность атомов кристалла; d — межатомное расстояние в цепочке; $\langle u_{\perp}^2 \rangle = \frac{2}{3} \langle u^2 \rangle$ — среднеквадратическая амплитуда тепловых колебаний атомов цепочки в плоскости, нормальной к цепочке. Для наших экспериментальных условий с хорошим приближением можно принять

$$\chi_{\min}(0) = 3Nd \langle u_{\perp}^2 \rangle. \quad (2)$$

Величина $\chi_{\min}(0)$ для рядов $\langle 100 \rangle$ кристалла NaCl, составленных из чередующихся атомов Na и Cl, определяется большими амплитудами тепловых колебаний натрия в узлах решетки. При $T = 300$ К $\chi_{\min}(0)_{\text{теор}} = 0,033$, а $\chi_{\min}(0)_{\text{эксп}} = 0,10$.

Для совершенного кристалла функция расканалирования $\chi(l)$ зависит от глубины проникновения l и температуры кристалла. Соглас-

Рис. 2. Зависимость выхода рассеянных протонов с $E \geq 780$ кэВ от угла между направлением падающего пучка и осями $\langle 100 \rangle$ кристалла NaCl



но [9], скорость расканалирования определяется выражением

$$\left(\frac{\partial \chi}{\partial l} \right)_{\text{тепл}} = \frac{\langle u_{\perp}^2 \rangle \pi^2 Z_1 \bar{Z}_2 e^2 d^2 N^2}{E}. \quad (3)$$

Для осей $\langle 100 \rangle$ кристалла NaCl (эффективный атомный номер $\bar{Z}_2 = 14$), $E = 1,2$ МэВ, $T = 300$ К вблизи передней поверхности кристалла

$$\left(\frac{\partial \chi}{\partial l} \right)_{\text{тепл}} = 0,016 \text{ мкм}^{-1}.$$

Экспериментальное значение скорости расканалирования для поверхностного слоя $(d\chi/dl)_{\text{эксп}} = 0,04 \text{ мкм}^{-1}$.

Различие экспериментальных значений $\chi_{\min}(0)$ и $d\chi/dl$ для необлученного кристалла и вычисленных значений $\chi_{\min}(0)$ и $(d\chi/dl)_{\text{тепл}}$ определяется повреждением поверхностного слоя кристалла при его ориентировании (см. рис. 2, кривая 1) и измерении энергетического спектра для осей $\langle 100 \rangle$ (см. рис. 1, а,

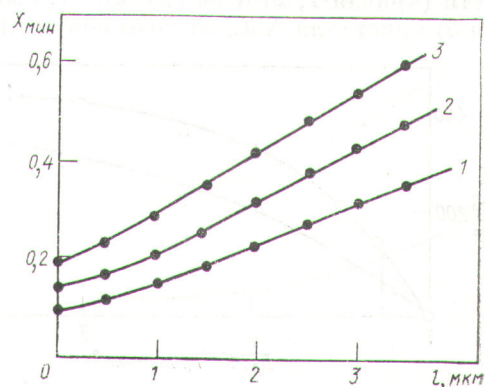


Рис. 3. Зависимость минимального выхода рассеянных протонов от глубины кристалла NaCl

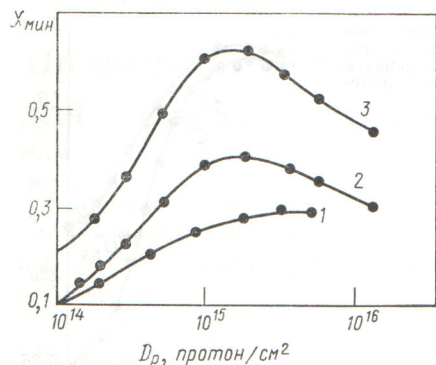


Рис. 4. Зависимость минимального выхода рассеянных протонов от дозы облучения

кривая 4). Доза облучения, исправленная с учетом меньшей разрушающей способности канализированного пучка, составляет 10^{14} протон/ см^2 . При таком значении D_p возрастание $\chi_{\min}(0)$ и $d\chi/dl$ уже заметно.

Концентрацию дефектов, образованных протонами при облучении кристаллов, можно определить, измерив разницу значений $\chi(l)$ и $d\chi/dl$ для определенной глубины до и после облучения. Наличие дефектов в кристалле приводит к возрастанию доли расканализированных частиц, которые затем рассеиваются на большой угол, и к прямому обратному рассеянию частиц на смещенных в междоузлия атомах. В зависимости от вида и энергии анализирующих частиц и объемной плотности дефектов относительный вклад этих двух процессов изменяется. В наших опытах интенсивность потока рассеянных частиц в зависимости от увеличения энергии изменяется монотонно, следовательно, вклад прямого обратного рассеяния мал.

На рис. 4 приведена зависимость минимального выхода рассеянных протонов на поверхности (кривая 1, 2) и на глубине 1,5 мкм (кривая 3) кристалла NaCl от дозы облучения. Кри-

вые 2 и 3 получены для неориентированного облучения, кривая 1 — для облучения вдоль осей $\langle 100 \rangle$ кристалла. Важная особенность приведенных кривых — уменьшение значений χ_{\min} для всех глубин кристалла, начиная с доз облучения, превышающих $2 \cdot 10^{15}$ протон/ см^2 . Такой ход кривых накопления дефектов нельзя объяснить отжигом образовавшихся дефектов. Можно предположить, что в данном случае либо происходит «залечивание» поврежденной структуры кристалла под облучением, либо простейшие первичные дефекты (типа френкелевых пар) группируются в более сложные образования, расканализирующая способность которых ниже суммарной для разрозненных дефектов, объединяющихся в группу. Для выяснения закономерностей обнаруженного явления необходимы дальнейшие исследования.

При вычислении концентрации смещенных атомов можно пользоваться различными методиками. Согласно [10], функцию расканализирования можно записать в виде

$$\chi(l, \langle u_\perp^2 \rangle, N_d) = 1 - [1 - \chi_{\min}(0)] \exp - [N_d \sigma_d + (\partial \chi / \partial l)_{\text{необл}}]. \quad (4)$$

Здесь N_d — объемная плотность дефектов; σ_d — поперечное сечение расканализирования частиц на дефектах. Скорость расканализирования определяется выражением

$$(\partial \chi / \partial l)_{\text{обл}} = [N_d \sigma_d + (\partial \chi / \partial l)_{\text{необл}}] (1 - \chi_{\min}). \quad (5)$$

Для поверхностного слоя принимаем, что $(\partial \chi / \partial l)_{\text{необл}} = \text{const}$; $(\partial \chi / \partial l)_{\text{обл}} = \text{const}$.

Тогда

$$N_d = \frac{1}{\sigma_d} \frac{(\partial \chi / \partial l)_{\text{обл}} - (\partial \chi / \partial l)_{\text{необл}}}{1 - \chi_{\min}}. \quad (6)$$

Будем считать, что частицы покидают каналы при рассеянии на угол, больший критического угла канализирования, и $\sigma_d = \frac{\pi \rho_{kp}^2}{2}$, где $\rho_{kp} = 0.1 \text{ \AA}$ — минимальное расстояние сближения канализированной частицы с атомом. Для кривых 2 и 3 рис. 3 объемная плотность смещенных атомов равна соответственно $1.2 \cdot 10^{20}$ и $2.8 \cdot 10^{20} \text{ см}^{-3}$.

В начале процесса разрушения кристаллов концентрация смещенных атомов приблизительно пропорциональна дозе облучения:

$$N_d = \sigma_d N D_p, \quad (7)$$

где σ_d — поперечное сечение образования радиационных дефектов. На рис. 5 показана зависимость $N_d \sigma_d$ от дозы облучения для поверхностного слоя кристалла, когда облучение проводится под углом 3° к осям $\langle 100 \rangle$ (1) и вдоль

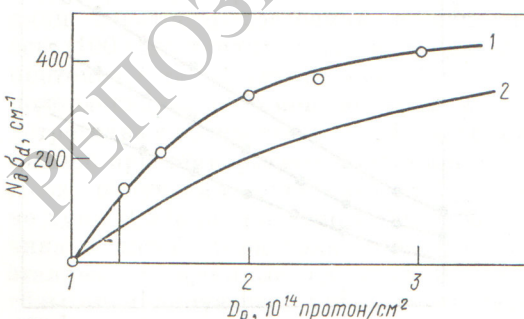


Рис. 5. Зависимость $N_d \sigma_d$ от дозы облучения для поверхности кристалла NaCl

осей $\langle 100 \rangle$ (2) кристалла NaCl. По наклону линий участков кривых определяем скорости образования дефектов

$$v_d = \frac{\Delta (N_d \sigma_d)}{\Delta D_p}$$

находим их отношение для ориентированного и неориентированного облучений:

$$v_d(100) = 103 \cdot 10^{14} \text{ см} \cdot \text{протон};$$

$$v_d(\text{неор}) = 163 \cdot 10^{-14} \text{ см} \cdot \text{протон};$$

$$\frac{v_d(100)}{v_d(\text{неор})} = 0,63.$$

Находим сечения образования дефектов

$$\sigma_d = \frac{1}{N \sigma_d} v_d. \quad (8)$$

Для кривых 1 и 2 рис. 5 получаем соответственно $\sigma_d = 12 \cdot 10^{-18} \text{ см}^2$ и $\sigma_d = 7,6 \cdot 10^{-18} \text{ см}^{-2}$.

Концентрацию смещенных атомов в поверхностном слое облученного кристалла можно оценить также по разности скоростей расканализования для облученного и необлученного кристаллов [3]:

$$(\partial \chi / \partial l)_{\text{обл}} - (\partial \chi / \partial l)_{\text{необл}} = C \frac{N_d d Z_1 \bar{Z}_2 e^2}{E}. \quad (9)$$

Здесь C — зависящая от вида дефектов константа, вычисленная в работе [3] для двух случаев: когда расканализование обусловливается однократными и многократными столкновениями. Для многократного рассеяния

$$C = \pi \ln \left(1,29 \frac{a_{TF} E M_2}{Z_1 \bar{Z}_2 e^2 (M_1 + M_2)} \right) [\ln \chi(l)]^2 \chi(l), \quad (10)$$

где a_{TF} — радиус экранирования атома; M_1 и M_2 — массы налетающей частицы и атома мишени.

В результате вычислений для приповерхностного слоя кристаллов NaCl, когда облучение проводится под углом 3° к оси $\langle 100 \rangle$ и $D_p = 2,54 \cdot 10^{14}$ протон/ см^2 , получаем $N_d = 5,4 \cdot 10^{20} \text{ см}^{-3}$, что достаточно хорошо соглашается с результатами, полученными выше.

Распределение концентрации дефектов по глубине кристалла находим, используя выражение [11]

$$N_d(l) = \frac{\chi_{\text{обл}}(l) - \chi_R(l)}{1 - \chi_R(l)} N. \quad (11)$$

Здесь $\chi_R(l)$ — хаотическая часть пучка на глубине l кристалла. Для случая, когда расканализование вызывается многократным рассея-

нием частиц на дефектах [12],

$$\chi_R(l) = \chi_{\text{необл}}(l) + \\ + [1 - \chi_{\text{необл}}(l)] \exp \left[- \frac{\psi_{0,5}^2}{\langle \theta^2 \rangle(l)} \right]. \quad (12)$$

Среднеквадратический угол многократного рассеяния $\langle \theta^2 \rangle$ определяется выражением

$$\langle \theta^2 \rangle(l) = \frac{\pi}{2} \psi_1^4 d^2 \ln \left(1,29 \frac{a_{TF} E M_2}{Z_1 \bar{Z}_2 e^2 (M_1 + M_2)} \right) \times \\ \times \int_0^l N_d(l) dl, \quad (13)$$

где

$$\psi_1 = \left(\frac{2 Z_1 \bar{Z}_2 e^2}{E d} \right)^{1/2}. \quad (14)$$

Значения $N_d(l)$ определяются методом итераций [12, 13] начиная с поверхности кристалла, где $\langle \theta^2 \rangle = 0^\circ$ и

$$N_d(0) = \frac{\chi_{\text{обл}}(0) - \chi_{\text{необл}}(0)}{1 - \chi_{\text{необл}}(0)} N. \quad (15)$$

Результаты вычислений для неориентированного (1) и ориентированного (2) облучений приведены на рис. 6 (D_p равно соответственно $2,45 \cdot 10^{14}$ и $1,66 \cdot 10^{16}$ протон/ см^2). Концентрация дефектов повышается с увеличением глубины проникновения частиц в кристаллы. Для поверхности кристалла (см. рис. 4, кривые 1 и 2) объемная плотность дефектов равна $4,0 \cdot 10^{21} \text{ см}^{-3}$ и $2,5 \cdot 10^{21} \text{ см}^{-3}$ для неориентированного и ориентированного облучений соответственно и для $D_p = 2 \cdot 10^{14}$ протон/ см^2 . Максимальные значения плотности дефектов $N_d, \text{ макс} = 1,5 \cdot 10^{22} \text{ см}^{-3}$ достигаются при дозах облучения $2 \cdot 10^{15}$ протон/ см^2 . Скорость накопления плотности радиационных дефектов при канализации бомбардирующих частиц в направлении осей $\langle 100 \rangle$

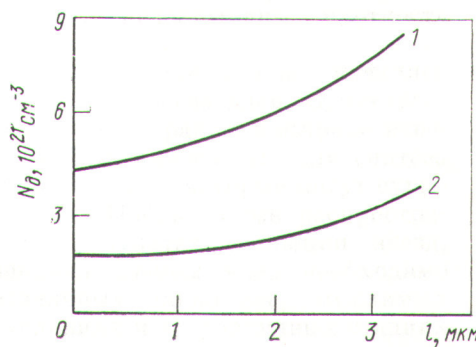
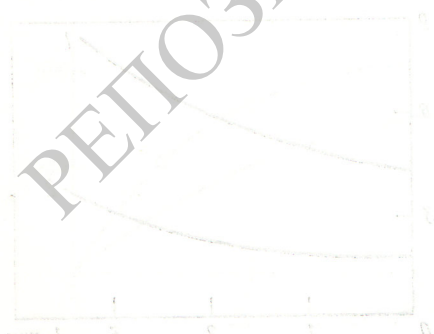


Рис. 6. Распределение объемной плотности дефектов по глубине кристалла NaCl

СПИСОК ЛИТЕРАТУРЫ

- Мейер Д., Эриксон Л., Дэвис Д. Ионное легирование полупроводников. М., «Мир», 1973.
- Morita K., Tachibana K., Itoh N. «Phys. Lett.», 1970, v. 33A, p. 257.
- Ozawa K. e.a. «Phys. Stat. Sol.», 1972, v. 9a, p. 323.
- Куликаускас В. С., Шипатов Э. Т. В сб.: Труды V Всесоюзного совещания по физике взаимодействия заряженных частиц с монокристаллами. М., изд. МГУ, 1974, с. 430.
- Helborg R., Skog G. «Phys. Scripta», 1974, v. 9, p. 121.
- Hollis M. «Phys. Rev.», 1973, v. B8, p. 931.
- Беликов Г. А. и др. Тезисы докладов VI Всесоюзного совещания по физике взаимодействия заряженных частиц с монокристаллами. М., изд. МГУ, 1974, с. 49.
- Barrett I. «Phys. Rev.», 1971, v. B3, p. 1527.
- Behrisch R., Scherzer B., Schulze I. «Rad. Eff.», 1973, v. 13, p. 33.
- Merkle K. e.a. «Phys. Rev.», 1973, v. B8, p. 1002.
- Borgh E. «Canad. J. Phys.», 1968, v. 46, p. 653.
- Feldman L., Rodgers I. «J. Appl. Phys.», 1970, v. 41, p. 3776.
- Westmoreland I. e.a. «Rad. Eff.», 1970, v. 6, p. 161.
- Беликов Г. А. и др. Тезисы докладов VI Всесоюзного совещания по физике взаимодействия заряженных частиц с монокристаллами. М., изд. МГУ, 1974, с. 45.
- Витовский Н. А. В сб.: Радиационная физика кристаллов и $p-n$ -переходов. Минск, «Наука и техника», 1972, с. 141.

Поступила в Редакцию 6/XI 1974 г.



Фиг. 1. Зависимость дозы, необходимой для образования F-центров в кристалле NaCl, от дозы, при которой образуются F-центры в кристалле излучения.